получения необходимого материала. Метод искроплазменного спекания также является оптимальным для получения материала со свойствами, не уступающими прототипу.

## Список литературы

- 1. Bhaumik S. K. Synthesis and sintering of SiC under high pressure and high temperature / Bhaumik S. K., Divakar C., Usha Devi S. // J. Mater. Res. Soc.. v. 14. № 3. P. 901–906.
- 2. Болдин М.С. Физические основы технологии электромпульсного плазменного спекания: учеб.-метод. пособие / Нижегородский государственный университет. Нижний Новгород, 2012. 59 с.
- 3. С.Н. Перевислов, Д.Д. Несмелов, М.В. Томкович Получение материалов на основе SiC и Si3N4 методом высокоимпульсного плазменного спекания / Вестник Нижегородского университета им. Лобачевского, 2013, № 2 (2), с. 107-114.
- 4. С.Н. Перевислов, Д.Д. Несмелов, М.В. Томкович Получение материалов на основе SiC и Si3N4 методом высокоимпульсного плазменного спекания / Вестник Нижегородского университета им. Лобачевского, 2013, № 2 (2), с. 107-114.

## СТРУКТУРА ОБРАЗЦОВ ТІ- В СПЛАВА, ПОЛУЧЕННЫХ СЛС-МЕТОДОМ

В.А. РУБАНОВ<sup>1</sup>, М.Г. КРИНИЦИН<sup>1,2</sup>, М.А. ХИМИЧ<sup>2,3</sup> Научный руководитель: доцент, к.т.н. Ж.Г. Ковалевская<sup>1,2</sup> 

<sup>1</sup>Национальный исследовательский Томский политехнический университет, 

<sup>2</sup>Институт физики прочности и материаловедения СО РАН, 

<sup>3</sup>Национальный исследовательский Томский государственный университет, 
Е-mail: rubanov1994@mail.ru

В последние несколько лет во всем мире наблюдается быстрое развитие аддитивных технологий [1]. Под этими терминами подразумевается изготовление детали путем послойного добавления материала. На сегодняшний день такие технологии различаются друг от друга, как выбором материалов, так и способом их послойного нанесения. Одним из наиболее актуальных методов создания трехмерных изделий является метод селективного лазерного сплавления (СЛС) [2]. Эта технология позволяет создавать из металлических порошков и их композиций объемные изделия с пористостью 0-3 %, что сравнимо с металлическими изделиями, получаемыми традиционными методами.

В центре «Современные производственные технологии» ИФВТ НИ ТПУ разработана экспериментальная установка «Луч», предназначенная для селективного лазерного сплавления металлических порошков. Основные характеристики установки «Луч»: волоконный непрерывный лазер ЛК-500ОМ мощностью 500 Вт; сканаторная головка LscanH-14-1064 с программным обеспечением LDesigner, размером пятна в фокусе лазерного излучения 205 мкм и фокусным расстоянием 330 мм.

Целью проведенной работы было продолжение исследования образцов из сплава Ti-Nb, полученных на установке «Луч» с варьированием параметров процесса сплавления.

В качестве исходного материала в работе использовался порошок сплава Ti-45Nb, полученный механоактивацией в шаровой мельнице AГО-2С [3]. Образцы получали в герметично закрытой камере при давлении аргона  $\sim$ 1,6 атм. Частицы порошка имели форму окатышей со средним размером 20 мкм. Каждый слой образцов получали в два прохода лазером с одинаковой разверткой, но разной скоростью. Развертка представляла собой параллельные друг другу линии с шагом между ними 200 мкм. Каждый последующий слой развертка поворачивалась на угол  $90^{\circ}$  для обеспечения высокой плотности получаемого образца. Основными изменяемыми параметрами были мощность излучения, скорость сканирования и толщина слоя (таблица 1).

Таблица 1 – Режимы СЛС

Изменяемые параметры	Образец №1	Образец №2	Образец №3
Мощность лазерного излучения, Вт	125	250	250
Скорость первого сканирования, мм/с	160	320	320
Скорость второго сканирования, мм/с	140	320	320
Толщина слоя насыпки, мкм	40	40	40 с коррекцией

На рисунке 1 представлено строение поверхности полученных образцов. Как видно, на поверхности образца №1 (рис. 1 а) в процессе плавления и кристаллизации образуются капли кристаллизовавшегося материала. Появление данного эффекта объясняется низкой скоростью сканирования лазера. Поэтому в эксперименте №2 скорость сканирования была увеличена с одновременным увеличением мощности лазерного излучения. Это было необходимо для сохранения энерговклада на прежнем уровне [4]. Как видно из рисунка 1 б, увеличение скорости сканирования и мощности лазера привело к повышению качества поверхности образца №2. Вместо каплеобразных выступов на поверхности формируется рельеф со следами сварочных ванн, образующихся при развертке лазера.

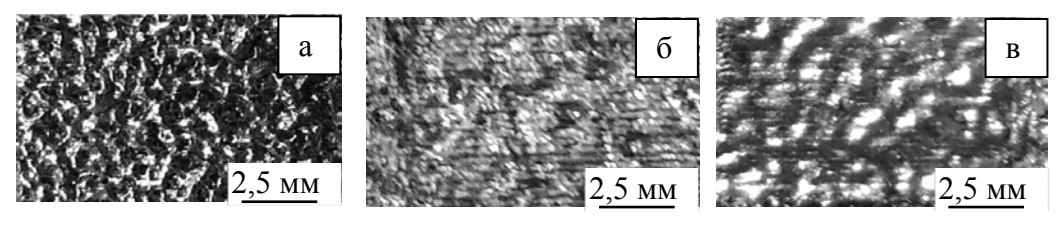


Рисунок 1 — Фотографии образцов, полученных СЛС на установке «Луч»: a — образец №1, б — образец №2, b — образец №3

Образец №3 был получен при тех же параметрах лазерного сканирования, что и образец №2. Различие заключалось в том, что при наращивании образца была учтена усадка порошка при плавлении и, с каждым новым слоем платформа опускалась на меньшую высоту (таблица 1). Как видно из рис. 1 в, поверхность образца №3 имеет вид, близкий к состоянию поверхности образца №2. Видны сварочные ванны, образующие треки в направлении развертки лазера. Но в отличие от поверхности образца №2 нет значительных углублений. Поверхность более гладкая (рис. 1 в).

Результаты металлографического анализа поперечных шлифов трех образцов показали, что СЛС обеспечило формирование монолитного материала с разной пористостью, в зависимости от режима СЛС (рис. 2).

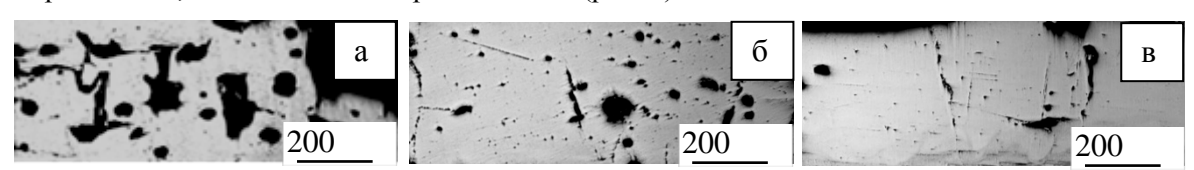


Рисунок 2 — Металлографические изображения поперечного сечения образцов, полученных СЛС на установке «Луч»: а — образец №1, б — образец №2, в - образец №3

У образца №1 пористость составляет 23 % и образуется за счет пор на границе между слоями и внутри слоев (рис. 2 а). Поры образуются в местах, где контактируют каплеобразные участки нижележащего слоя с вышележащим, а также в процессе усадки кристаллизовавшегося материала. У образцов №2 и №3 пористость ниже. Это следствие улучшения качества поверхности формирующихся слоев материала. На двух последних образцах (рис. 2 б, в) наблюдаются в основном округлые поры, образующиеся за счет газовыделения, сопровождающего процесс высокоскоростного плавления и кристаллизации материала. У образца №2 пористость составляет 8 %, у образца №3 – 1,5 %. Это

свидетельствует о правильном выборе энерговклада лазерного излучения и коррекции толщины слоя порошка, что обеспечило получение материала в оптимальных условиях.

Несмотря на высокую плотность полученных образцов, увеличение энерговклада привело к возрастанию внутренних напряжений и нежелательному трещинообразованию. Поэтому необходима дальнейшая исследовательская работа.

## Список литературы

- 1. Additive manufacturing / ed. by A. Bandyopadhyay and S. Bose. –Taylor & Francis Group, 2016. 414 p.
- 2. Шишковский И. В. Лазерный синтез функциональных мезоструктур и объемных изделий. М.: ФИЗМАТЛИТ, 2009. 417 с.
- 3. Шаркеев Ю.П., Ковалевская Ж.Г., Химич М.А., Ибрагимов Е.А., Сапрыкин А.А., Яковлев В.И., Батаев В.А. Исследование строения и фазового состава порошков Ті и Nb после механической активации // Обработка металлов. 2016. № 1 С. 42-51.
- 4. Yadroitsev I., Krakhmalev P., Yadroitsava I., Johansson S., Smurov I. Energy input effect on morphology and microstructure of selective laser melting single track from metallic powder // J. Mater. Process. Techn.. − 2013. − V. 213. − № 4. − pp. 606-613.

## СТРУКТУРА И СВОЙСТВА ТИТАНОВОГО СПЛАВА ВТ6, ПОЛУЧЕННОГО МЕТОДАМИ АДДИТИВНОГО ПРОИЗВОДСТВА И ПОДВЕРГНУТОГО ИМПУЛЬСНОМУ ЭЛЕКТРОННО-ПУЧКОВОМУ ВОЗДЕЙСТВИЮ

<u>А.Д. ТЕРЕСОВ</u>, Н.Н. КОВАЛЬ, Ю.Ф. ИВАНОВ, Е.А. ПЕТРИКОВА, О.В. КРЫСИНА Институт сильноточной электроники СО РАН E-mail: tad514@yandex.ru

Существует множество технологий, которые можно назвать аддитивными, объединяет их одно: построение модели происходит путем добавления материала в отличие от традиционных технологий, где создание детали происходит путем удаления «лишнего» материала [1, 2].

Аддитивные технологии производства позволяют изготавливать любое изделие послойно на основе компьютерной 3D-модели. Такой процесс создания объекта также называют «выращиванием» из-за постепенности изготовления. Если при традиционном производстве в начале мы имеем заготовку, от которой оптом отсекаем все лишнее, либо деформируем ее, то в случае с аддитивными технологиями из аморфного расходного материала выстраивается новое изделие. В зависимости от технологии, объект может строиться снизу-вверх или наоборот, получать различные свойства.

В настоящее время для выращивания изделий из металла используются 3D-принтеры, использующие для спекания металлического порошка лазерное излучение или электронный пучок. Особенностью данных методов является то, что формирование изделия происходит в тонком (50-100 мкм) слое металлического порошка, где отдельные частицы спекаются под действием лазерного или электронно-пучкового воздействия. В результате на границе изделие-порошок образуется пористый слой с большой шероховатостью ( $R_a$ =30 мкм,  $R_z$ =150 мкм), обусловленный прилипанием отдельных частиц порошка. Для дальнейшего использования такого изделия необходимо осуществить финишную обработку его поверхностного слоя [3].

Целью настоящей работы являлась финишная обработка интенсивным импульсным электронным пучком субмиллисекундной длительности поверхностного слоя металлических изделий, полученных методом послойного селективного электронно-пучкового спекания в вакууме титанового порошка марки ВТ6 с размером частиц 40-100 мкм (установка «Агсат A2X» фирмы Arcam (Швеция)). Для этого использовалась